

# ひやわね性基盤、斜面基盤の応力伝播の特性 および アーチダムの 基盤の滑り破壊安全率の分布に関する考察

電力中央研究所 技術研究所

林 正夫

## 概要

岩盤には ひやわねが発達している所、断層を有する所などがある。このような岩盤をダムのアバットメントとなくしてはましまることも多いので、等方等質論との対比において、これらの中の基盤内の応力伝播の特性を検討してから、近似的に等方等質と考える場合には、アーチダムの基盤はすべりに対する安全率がどうなるかを分布によって推定することを試みた。I, II, III部に分けて報告する。

## I. ひやわね性基盤の応力伝播の特性

### 要旨

ひやわね性基盤は、従来の連続体の力学より脱却して応力、変形を論ずることが望ましい場合がある。筆者はその一つ試みとして ひやわね区間に C と載荷中に T によって比率  $\frac{C}{T}$  をひやわね係数と名付け、この係数をパラメータとして ひやわね性基盤の応力、変形を推定する一つの力学的模型を提案してみた。この提案は、筆者によって行なわれたサイコロ積みおよび積戸性基盤に関する応力凍結光弹性実験の興味ある結果の考察にもとづいてある。

### 1. ひやわね性基盤の工学上の重要性

ひやわねが発達していると連続体の力学はもはやあてはまらないのではないかという疑問が起るが、他に代えべき力学がないのでやむなく等方等質の彈性体とするような連続の力学を借用してすこしてきたように思われる。ここで一つ試みとしてひやわね体の応力伝播を考えると便利な一つの模型を提案してみた。ひやわね面のせん断抵抗を無視する場合をまずづつ、ひやわね面のせん断抵抗を考慮に入れる場合をその後で述べてある。

未だ考への足りない要素を記しながら、謹警の参考になれば幸いである。

2. ひやわねの多い場合に、特にダムの基礎として、コンクリテーショングランクトによって、水頭を完全に填充してセメントシックを強固なものにすると共に、設計や工法の考え方を等方等質の場合に準じさせようとするが、技術の唯一の立場として草書されて来たように思われるが、この工法の不確実なことが心配に思つたり、このようないくつかで端折って省略せられたかといふ欲張った考え方をもつたりすると、やはりひやわね性基盤とのものに直面した力学が缺しくなる（ひやわねから水が洩るという心配は、別途にカーテングランクトや遮水壁の問題として處理がなされる）。このひやわねといふところを力学的な言葉に翻訳してみよう。ここにかかるかを考えて見ると、ひやわね面ではその面に垂直な方向の引張り応力が発達されない。ひやわね面は凸凹（くび）もあるので、ある程度のせん断応力までは伝も得るが、等方等質の場合と較べれば、先

水にも限度がありそうだ。この2つの条件でひずわれた素子を境界で切ることができるように思われる。そしてこれらの素子が隣接に重複していけるのである。

ひずわれの程度をどのまゝに云ふ表わしたうよいだとうか。これには地盤工学的には、必ず地盤以上のひずわれを Schmidt net にあてて密度や方向を論じたり、地表面より心は試験機坑内に、あるいは地盤以上のひずわれが算定長さ当たりいくつあるかを観察して密度をしきべたりする方法と、地盤物理学の人達がよく使う。ひずわれは弾性波の伝わりみかけの速さが、岩盤の場合に、岩石ニア一の場合の何%<sup>が</sup>おちていふことから、この速度低下率をひずわれの程度をあらわす尺度として使用せいかどう考え方の大別して2つにわかれているように思われる。

筆者は構造物との関係でひずわれを考えてみようとする立場をとっているので、絶対的なひずわれの規模よりもむしろ構造物の規模との対応における相対的なひずわれの規模をあらわすつぎのようすひずわれ係数を提案してみた。

$$\text{ひずわれ係数} : \frac{c}{T}$$

このCは、ひずわれ区間の平均長さであり言葉をかえれば実質部分の平均的な大きさである。Tは基盤の表面の載荷巾である。

このひずれ係数は工学的にはどのような意味を持つのかを説明するために一つの例を挙げてみよう。すなわち、あるひずれ区間のところにかなり小さな載荷巾の構造物をつくった場合には、事实上、ひずわれを考えなくて等方等質の基盤に近似でさることもあろうし、同じひずれ区間のところでも非常に大きな載荷巾の構造物をつくった場合は、相対的には小さな粒状の素子の集合として基盤を考えることはさうむずく。故に  $\frac{c}{T}$  は、構造物との対応を論ずる上都合がよいようと思う。

区間に自体のきめ方は、多分に判断の要素が入るこことはやもと得知り。場合によっては、どの程度より細かいひずわれは問題すらかがきめ手がないようと思われるからである。

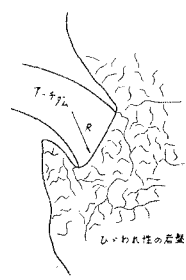


図3 ひずれ性の岩盤



図1 多ひずれ性基盤

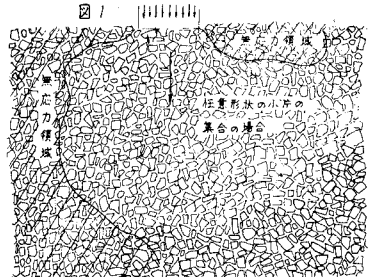


図2 サイクロ積み ( $C/T = 0.25$ )

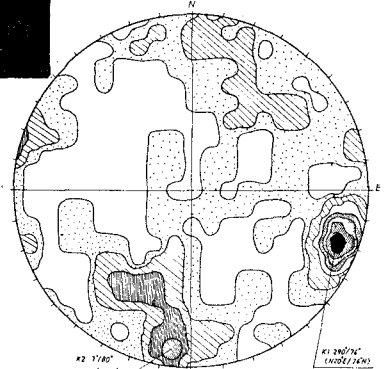
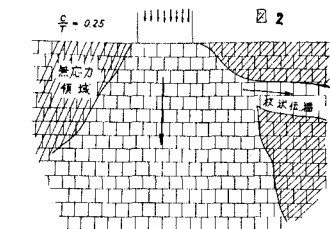
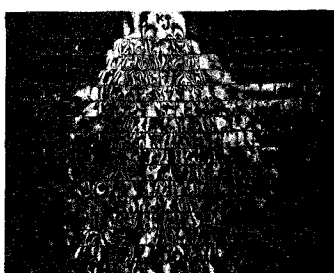


図4 Density diagramの一例 (井上)

## 5 従来のとり扱い方。

ひやか水性の基盤の応力伝播についての論文は見つけ得なかつたが粒状体によつて是 Frölich の  
応力集中係数がひささか似た問題につけて考へてゐるにあつた。

$$\sigma_z = \frac{2\pi}{\pi} \int_{\beta_1}^{\beta_2} \cos^{n-1} \theta \ d\theta$$

すなはち  $n=3$  のとき等方等質の場合となり、より実際  $\beta=6$  上する砂質体の応力伝播特性  
を大まかに把握できることが認められるようである。この物理的意義は、はつきりして  
きらうとする。ひやか水性がこゝで考へるのは、ひやか水性であり、つまり細かい粒子の集合である。  
このとサイコロにし、その種みあげた基盤につけての表面変位に関する君島等の興味ある実験がある(3)。

## 6 応力凍結光弹性実験法による応力伝播特性の考察

写真1のようす任意形状の場合にはあまり複雑に過ぎずサイクロ状のつみかさねで模擬し、ひやか  
水区間Cに載荷中Tにて  $\frac{C}{T}=0.125, 0.25, 0.50, \infty$  の4種につけて光弹性等色縮写真を撮影した。

一边Cは5, 10, 20mmでTはすべて40mmである。Interlockの状況を除く14ケースにつけて  
おこなった結果を集約してみると、

1) ひやか水性基盤では、ひやか水面の水かけのせん断抵抗のちがいによって差はあるが、等方等  
質性基盤にくらべると応力伝播の様子はいちじるしくことなり、載荷面直下にだけ応力が伝播し、横  
の領域は無応力にすぎない。したがってひやか水性基盤に Boussinesq 公式を適用する場合には注意を要す。

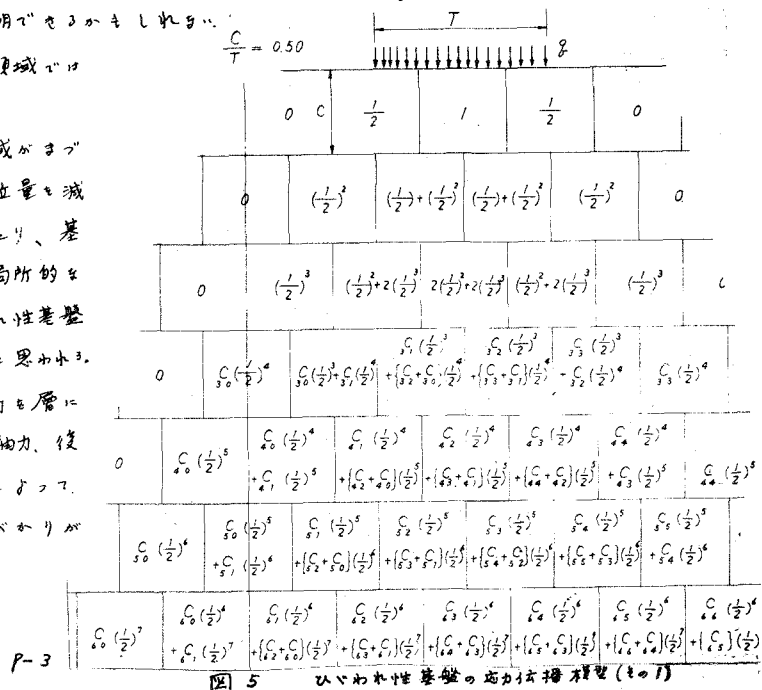
2) 等方等質の基盤では若干の引張り領域が発生するところであるが、ひやか水性基盤では  
そのようす引張り領域よりは軽い。ひやか水区間の実質部分に不規則な集中荷重が作用して実質部  
分の引張り領域を生じ、これにより強応力領域は実質部分に近づく。応力状態がどうかはそれまで

3) ひやか水性基盤の表面変位量は Boussinesq 公式によれば過小評価となることは一目でみさ  
らかである。岩石のEとひやか水との表面以下よりおこめる基盤の水かけのEの関連を、字幕のよ  
うに応力伝播を考慮に入れて説明できるかもしれない。

4) 比較的緊密に接続している領域では  
応力が板状に伝播する。

5) 載荷中によつて応力伝播領域がます  
きめられていけるようでは、表面変位量を減  
らし上部構造との影響増加領域になり、基  
盤内部の応力をより広く分散して局所的半  
破壊の心配をへします。ひやか水性基盤  
では、フーティングが有効のように思われる。

6) 横弾性基盤の場合には、外力を層に  
平行な直角の成分に分け、前者は軸力、後  
者は重ねばりの荷重と考えることによつて、  
横弾性基盤の応力、変形を論じる手がかりが  
えられたように思われる。



## 6 ハーフウェイ性基盤の応力伝播模型(その1)：ひじや小面のせん断抵抗を無視した場合。

図5は(め(め)ように、表面荷重 $q$ はTとCとの相対的な大きさに応じて走行基盤のオフセットに応じて分散する。このときには、Tの周辺に当たる素片には応力がつかないまで無応力領域に含まれる。これより、素片は統計的には均等にInterlockされておりと考えられるが、上段の力は下段で等分されると考えた。順次下段に走り、ここで等分則の原則を適用して、 $\frac{c}{T}$ と鉛直応力の等分力距離は $\frac{q}{T}$ が小さい程載荷面下に集中する。 $Förlöch$ のJ表示によると、素片の $\frac{c}{T}$ 表示によると、集中化傾向がしきりであるが、J表示が單なる実験係数らしいのに比べて、 $\frac{c}{T}$ はより物理的意味が明確な利点があるようと思われる。この $\frac{c}{T}$ 模型は3次元の場合には載荷錐体、2次元の場合には梯形の実験結果領域を生成することになる。 $\frac{c}{T}$ の値による応力分布の状況は図7,8の如くである。

## 7 ハーフウェイ性基盤の応力伝播模型(その2)：ひじや小面のせん断抵抗を考慮した場合

ひじや小面の破壊条件と弾性応力条件を組合せてハーフウェイ性基盤の応力伝播を考えよう。この場合、ひじや小面の破壊条件は滑り破壊とする。何よりも載荷面近傍では引張り破壊はあり得ない。図6において各が作用する連続体の場合は彈性論によって④面の中央ではせん断応力では $0.31\frac{q}{T}$ となるが、ひじや小面のせん断抵抗 $T_R$ がこのより小さくなる局部的にすべり。例として $T_R=0.1\frac{q}{T}$ をとりあげると、④面はすべり $q$ は直下に沿って走行基盤の下面では平均応力は $q$ となる。再びⅡ以下の半無限版の表面荷重がこの $q$ であるとして、連続体として③面でのせん断応力を $0.14\frac{q}{T}$ となり、依然として $T_R=0.1\frac{q}{T}$ をより大きくなると③面はすべり $q$ のと考えられ、オフセット下面の鉛直応力 $\sigma_z$ は平均は $\frac{1}{2}\frac{q}{T}$ となる。ついてⅢ以下の半無限版に $\frac{1}{2}\frac{q}{T}$ の表面荷重が連続体に作用するとして②面中央のでもせん断応力を $0.1\frac{q}{T}$ 以下となり、やがてⅢ段のひじや小面はせん断応力を経過する。つまりⅢ段以下の部分の鉛直応力はⅢ段上面に $\frac{1}{2}\frac{q}{T}$ が図6のように分布したときに連続体として鉛直応力がねじり出される。

図9,10はⅦより複数の場合の一例として $\frac{c}{T}=0.25$ ,  $\frac{T_R}{q}=0, 0.1, 0.2, 0.5$ の場合が比較されている。

8. まことに 連続体の力より脱却し、ひじや小面の力よりよりよろしく考えていくが、まず~~ひじや小面~~試算を提示してみた。構造物載荷模型とひじや小面模型との相対比を考へに入れて応力伝播を若しくみたところ、ひじや小面のせん断抵抗の程度に応じて、応力伝播がどうよろしく考へる力と模型を破壊条件と連続体の力学を組合せて提案してみた。近似的ではあるが、ひじや小面のメカニズムを考へて上に役に立つれば幸いである。今後、実岩盤での実証研究に進むねばならない。(次頁)

図6

ハーフウェイ性基盤の応力  
伝播模型(その2)

	①	②	③	④	⑤	⑥	⑦	
I	$\frac{T_R}{q} = 0.1$	$\frac{c}{T} = 1$	$T = 0.31\frac{q}{T}$	$T = 0.14\frac{q}{T}$	$T = 0$	$T = 0.1\frac{q}{T}$	$T = 0$	
II			$T = 0$	$T = 0$	$T = 0$	$T = 0$	$T = 0$	
III			$T = 0$	$T = 0$	$T = 0$	$T = 0$	$T = 0$	
IV			$T = 0.02$	$T = 0.07$	$T = 0.29$	$T = 0.50$	$T = 0.23$	
	$\sigma_z = 0.03$	$\sigma_z = 0.07$	$\sigma_z = 0.15$	$\sigma_z = 0.23$	$\sigma_z = 0.23$			

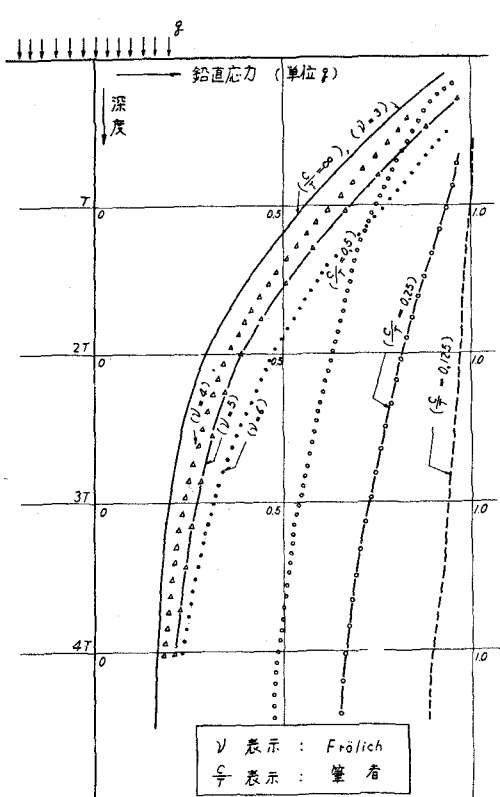


図 7 鉛直応力 - 深度の比較 (γ表示, %表示)  
(模型 No. 1)

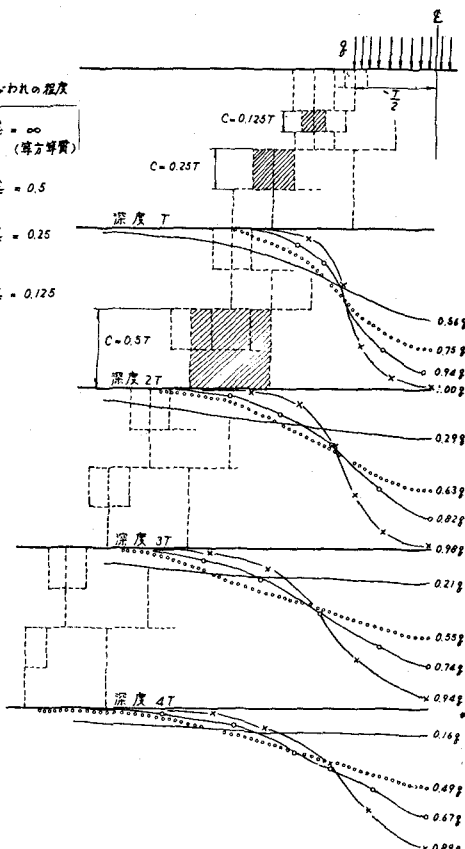


図 8 鉛直応力とひきわれ係数の関係  
(模型 No. 1)

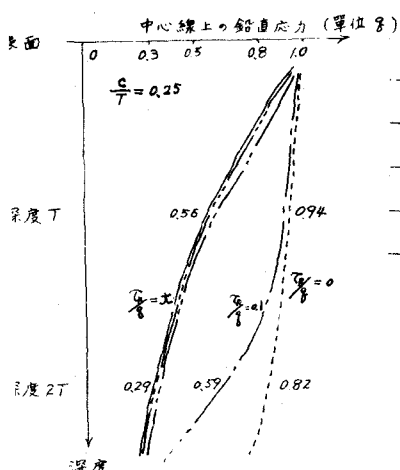


図 9 鉛直応力とひきわれ面のせん断抵抗の関係  
(模型 No. 2)

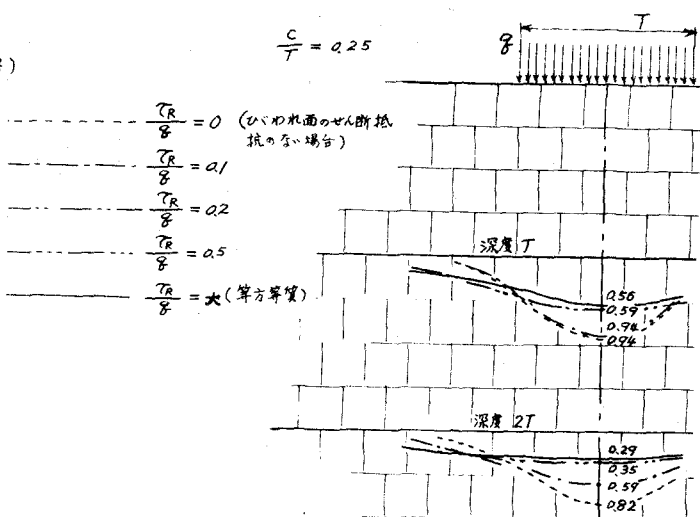


図 10 鉛直応力とひきわれ面のせん断抵抗の関係 (模型 No. 2)

## II 斜層基盤の応力伝播の特性

**要旨** 従来、具体的に解答されていなかったようなので 斜めの軟かい層を含む基盤の応力伝播の特性を 応力凍結法によって光弾性実験で 27 ケースを検討し、等方等質論、二層基盤の従来の理論との比較をしてみた。アーチダムのアバットメント構成によって岩盤に断層を含むときに基本的なデーターとして応用できるように図化した。

### 1 斜層基盤の工学上の問題点

構造物の基盤が等方等質と考え得ない場合によく出会わす。たとえば水平な層状、斜めの層状、不規則に発達したひびわれなどで、その抵抗性をしつて置かない上部構造の安全を設計ができるかなどがある。アーチダムのアバットメントの安定をしつべる目的でやつてみたことだが、軟弱地盤の似たような問題にも参考にできよう。

断戸の存在が構造力学上 どのように問題となるかを考えて見よ。1) 断戸面をもつせん断抵抗が充分に存在するかどうか 2) 断戸が可撓性のために、ダムに悪影響を与えるようず異常を防ぐおこさないかかどうか 3) 断戸そのものは粘土化してて透水性はすぐりでも、その周辺は破碎されてしまうことが多い。したがって含水量が増し、透水速度により断層面近傍で強度が低下し剥離の心配はすいか 4) 透水速度が早くなり、部分的に欠損して水が全体的で基盤の不安定の原因となるまいかなどが考えられる。これらの中の 1) については若干の知識を得ようとした。

斜戸については従来の解答は見あたりなかつた。荷重と戸が直交する場合は半無限体につれての Burmister, Schiffman, 半無限板につれての石原研而氏などのすぐれた研究がある。实用問題では軟弱地盤の冲積戸の土質基礎が多かつたので従来の研究が水平戸の問題に著しくかたよつてしたものと思われる。岩盤基礎では造山作用による斜戸の問題が非常に多くうるが、その数理的解は個別に厄介なので、光弾性実験がこの場合は非常に役に立つ。

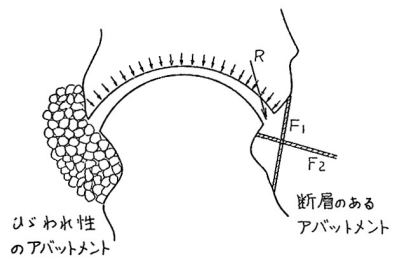


図 1 アーチダムのアバットメントの耐荷力の低下の要因

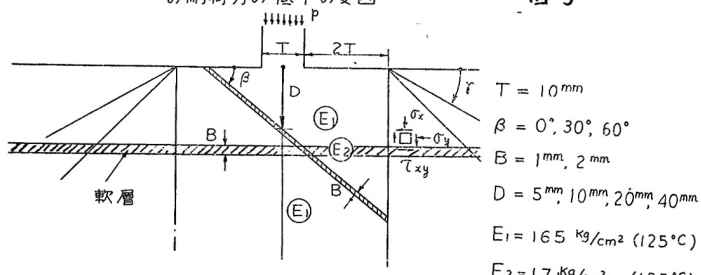


図 3

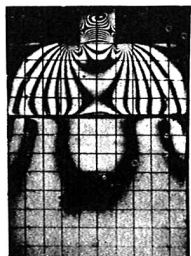


図 4  $\beta=0^\circ$   $D/r=1.0$   
 $D/r=2.0$



図 5  $\beta=30^\circ$   $D/r=0.2$   $D/r=0.5$

## 2. 断層の実態と模型上の表現について

ここでは前に挙げた材料はまわりの材質より弾性係数が小さい場合を取り扱つていい。断層材料は粘土質、砂礫性粘土、砂質、破碎された岩などがあるがこれらがまぎり合つた状態でその変形係数も $10 \sim 10,000 \text{ kg/cm}^2$ 、一方岩盤の方も $10,000 \sim 15,000 \text{ kg/cm}^2$ のオーダーに分布するようである。実験では $E_1/E_2 = 10$ の場合を行つた。 $E_1$ はエボキシ系樹脂アラルダイト錠型用B型で $165 \text{ kg/cm}^2$ ( $125^\circ\text{C}$ 、曲げ)、 $E_2$ はゴムで $17 \text{ kg/cm}^2$ ( $125^\circ\text{C}$ 引張り)である。

断層面と岩質との接触状態は、いくつハウケースが考えられる。(表1)

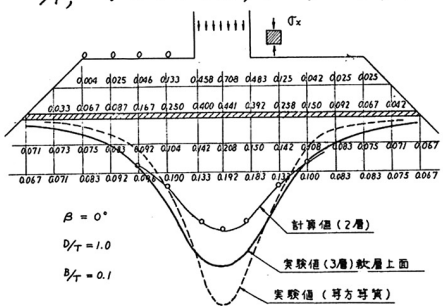
接触面の力学的状態

接触面との直応力	接触面とのせん断応力	接触面の法線方向変位	接触面の接線方向変位
拉 達	拉 達	連 繋	連 繋
圧縮応力のみ(拉達) (引張りは拉達されない)	拉達されない		不連続

水平戸のときには接触面でせん断抵抗が少なくせん断応力が伝達されなくして全体として安定を保つことができるが、斜戸基盤ではこのようときには接触面に沿つてすべり出すことになり実用的意味はすぐないので実験では応力、変位が連続的に伝達される状態をとり扱つた。(接觸面で接着した)

実験は半無限版が多く図2のような有限版について行った。その理由はアーチダムのアバットメントでは下流側に半無限寸法の岩盤のマスが健全を準で存在しない場合が多いこと、アバットメントを構成する岩盤が堅硬な一枚岩であることは望みがたくさまざまのゆれめが存在するためには、表面からの力は載荷面直下の限られた領域にだけ作用する特性を見のがすやうにかかる場合が多いこと、有限版の方が光弾性実験の精度があがることなどのために有限版について実験とした。

断層の規模、方向、位置は実態は多種多様であるが実験では図2の数字によつて $\beta$ 、 $D/T$ 、 $B/T$ 、 $\gamma$ の4つをパラメータとして27種の比較検討をした。



二層、三層、等方等質の応力分布の特性比較 ( $\sigma_x, \sigma_y$ )

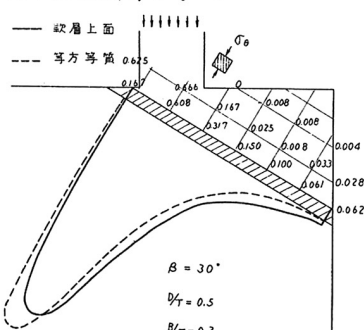


図7 斜め軟層 ( $30^\circ$ )と等方等質

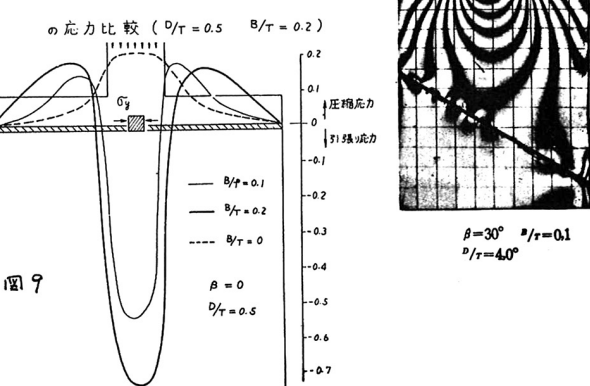


図8 斜め軟層 ( $60^\circ$ )と等方等質

の応力比較 ( $D/T = 0.5$   $B/T = 0.1$ )



$\beta=30^\circ$   $D/T=0.1$   
 $\beta=40^\circ$

### 3. 軟層面の応力分布の特性（等方等質の場合との対比）

1) 軟戸面の垂直応力の平均化作用(図6,7) までもっても考えやす、水平戸( $\beta=0^\circ$ )の場合の垂直応力  $\sigma_z$  は等方等質の場合よりは最大値が小さくなり平均化される傾向がある。2戸構造としての石原氏の水平戸の計算と、その実験値をくらべると3戸と1戸の差額値の方が2戸と1戸の計算値よりも平均化の割り合は小さい。等方等質の場合ともグラフで較べてある。等方等質のときの最大値に対する軟戸のある場合の最大値の割り合は、実験の範囲では 70~85% となった。斜めの複合化が大きくなるにつれ ( $\beta \rightarrow \infty$ )、最大応力の等方等質の場合よりの低下は顕著でなくなり平均化作用はうすれていく。軟戸より載荷側ではいづれしく軟戸の影響をうけるが、反対側では軟戸がクッションの役目を果し、みだれのすくない応力状態を呈している。

2) 軟層面の垂直圧縮応力の減少領域の発生 斜めの複合化が大きくなると局部的に軟戸面の垂直圧縮応力  $\sigma_z$  がいちじるしく小さくなり、場合によつてはわざかの引張り応力に至る領域が発生するよう( $\beta=0^\circ$ ,  $30^\circ$ では発生せず  $\beta=60^\circ$ で発生する)。このような領域がは 等方等質にして  $\sigma_z$  を推定すると過大評価となる。(図8)

#### 3) 軟層面に沿う方向の引張り応力の発生 (図9, 11)

この現象は斜めの複合化が小さな程(水平戸に近い程)顕著にあらわれる。水平軟戸の場合には、かぎりの引張り応力が発生する。等方等質の計算では、この応力成分は常に圧縮であるが、軟戸が介在する弾性支承のはたらきをもつて、上部の硬戸が Beam Action を呈し、その下線に引張り応力が発生するものとして理解できよう。 $\beta = 30^\circ$  の斜め軟層では似たような傾向がみとめられるが、 $\beta = 60^\circ$  の急傾斜の軟戸では  $\sigma_z$  に引張り応力はみじめず入等方等質にして取扱つても大差はないようである。(図10)

#### 4) 軟層面に沿うせん断応力の分布

軟戸面でのせん断応力  $\tau_{xy}$  は、載荷面の近く近くで大きなとき 等方等質の場合と大差はないように思われる。(図12, 13, 14)

以上、軟戸面の垂直応力の平均化作用、軟層面の垂直圧縮応力の減少領域の発生、軟戸面に沿う方向の引張り応力の発生、軟戸面でのせん断応力の分布なども概要しが 数値についてはごく一部分しか記載し得なかつたので、専門の報告書を参照されたい。

図10

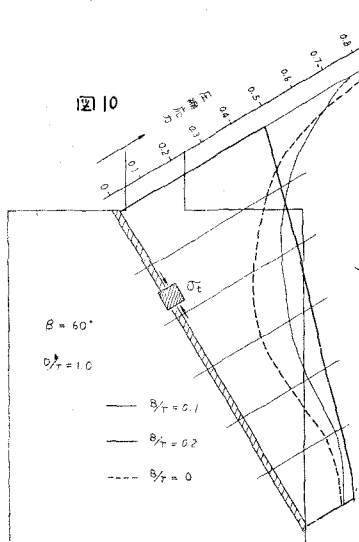


図11

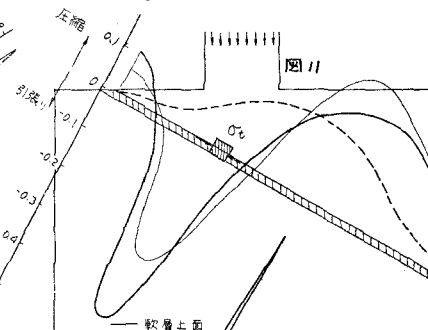


図12

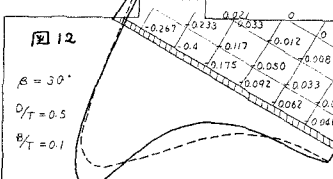


図13

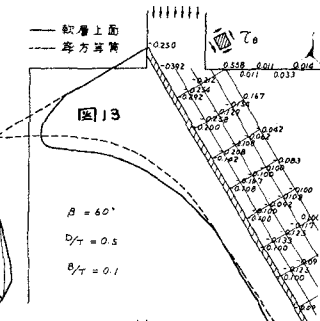
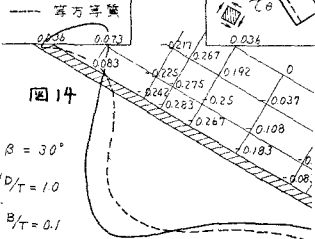


図14



### III アーチダムの基盤の滑り破壊安全率の分布に関する考察 (要処理領域の一推定方法)

**概要** アーチダムの基盤を構造力学的に見た場合には、どの深さまで処理しなければならないかという疑問について、一つの量的な解釈方法を提案してみた。しかしここでは、等方等質といふ近似的な仮定にもとづき、基盤内部の各点、各方向のすべり破壊安全率の分布状態を、光弾性実験でもとめた応力分布にもとづいて、推定したにとどまり 疑問はまだ多い。

ここでは、岩盤のせん断強度、内部すさつ係数、表面に作用する最大圧縮応力、ダム下流側の基盤の地形、この4つをパラメーターとして導入し、滑り破壊安全率の分布図をもとめてみた。

#### 1. アーチダムの基盤の滑り破壊に対する安定性の検討方式について

とくに顯著な断層や分離面のあるときは、これらの弱い面沿ひのすべり安定性を slip line 方式でじらべるのが妥当なうが多かと思われるが、たゞ全体的に地質的に脆弱であるとか ひずわれが多いか、アーチダムからの力に抵抗すべき岩盤マッスルの蓄積が足りないとかの心配のあるときは、大別して、slip line (circle, plane)による巨視的すべり安定をもとめる方式と、こゝでのべる基盤内部の各点各方向の滑り安定より要処理領域を推定する方式とに分けようと思ふ。

筆者は当初は、slip line 方式で検討してみたが、この方式は1つの slip line 沿ひとその線素の位置がちがうと 非常に安定度がちがうので、この方式で平均安全率を line につけてもとめてみても、基盤の要処理域を適確に把めにくく、欠点がさけられないので、もう一つの疑問に逢着したので、せう要処理域、進行性破壊領域、非進行性破壊領域について、より明確をイメージを与えると思われる基盤内部の各点各方向のすべり破壊安全率を検討してみた。

しかし破壊がある断面全体の平均強度が材料の強度よりはそれに關係する定数値に達したときにはじめて全体の安定がやぶれようになる所生ずるうる論理もさかんであるが、要処理域の考察には局所的の方が便利さよく考えたわけである。

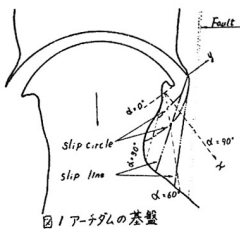


図1 アーチダムの基盤

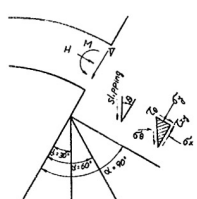


図3 応力成分の正の方向



図2 推力 ( $\alpha=30^\circ$ )

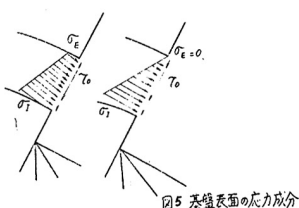


図5 基盤表面の応力成分

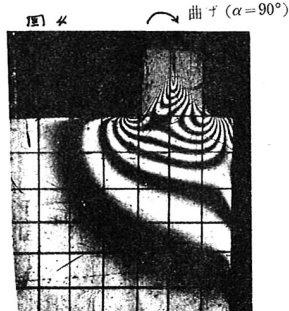


図4 曲げ ( $\alpha=90^\circ$ )



図6 せん断力 ( $\alpha=90^\circ$ )

2. 滑り破壊安全率 岩盤の破壊条件は引張り面については最大引張り応力線、せん断面と並圧縮面についてはつきに定義するより、すべり破壊面上をスケーリングで考えることができよう。各要素方向のすべり破壊安全率  $S(x, y, \theta, u, \sigma_I, T_R, f)$  は

$$S(x, y, \theta, u, T_R, \sigma_I, f) = \frac{T_R + f(\sigma_\theta(x, y, \theta) - u(x, y, \theta))}{T_\theta(x, y, \theta)} = \frac{\frac{T_R}{\sigma_I} + f\left(\frac{\sigma_\theta}{\sigma_I} - \frac{u}{\sigma_I}\right)}{\frac{T_\theta}{\sigma_I}}$$

この  $T_R$  は岩盤のせん断強度、 $f$  は内部せん断係数、 $u$  は揚圧力、 $\sigma_\theta$  はすべりを考慮した面の直応力、 $T_\theta$  はおもじくせん断強度、 $\sigma_I$  は表面の加圧の最大値とする。

これは岩盤マッスルのせん断強度の重みかけの値で、岩石コアの値、いわゆるの程度、含水率などの諸数を考慮すれば実際の数値は実証例がきわめて少う。 $f$  についても同様である。ロック シャーテストがあさこちびおこしやれると次第にほつきりして来るようだ。

### 3. 非半無限版への表面部分荷重（推力、曲げモーメント およびせん断力）による内部応力分布の光弾性応力解析

従来、半無限土斜面を土木工事としていた感があるが、アーチダムのアバットメントなどでは非半無限を考慮して実験を適合させた場合が多い。図3のように非半無限を考え、二次元光弹性実験で、 $\alpha=0^\circ, 30^\circ, 60^\circ, 90^\circ$  のを示す。これについて、推力、曲げモーメント、せん断力が個々に作用した場合のせん断基準応力分布を示す。12ケースについてもとめ 図5のように critical condition の応力分布を算出した。二、三の興味ある点を応力分布について記しておく。1) 推力荷重による鉛直応力は  $\alpha=0^\circ$  では急激に減少するが、 $\alpha=90^\circ$  の半無限版では深さ2.5Tで0.175、 $\alpha=30^\circ$  で0.190、 $\alpha=60^\circ$  で0.220、 $\alpha=90^\circ$  で0.320となる。2) 曲げモーメント荷重の直下は引張り線の方向にせん断変形を生じる。3) せん断荷重では肩が切れるにつれて表面の水平応力の引張り側の値が増大する点は注目すべき。組合せ荷重状態での主応力ベクトルを見ると、半無限では深さ2.5Tで0.175、 $\alpha=30^\circ$  で0.190、 $\alpha=60^\circ$  で0.220、 $\alpha=90^\circ$  で0.320となる。非半無限の影響はこの実験のように場合には無視できるようと思われた。

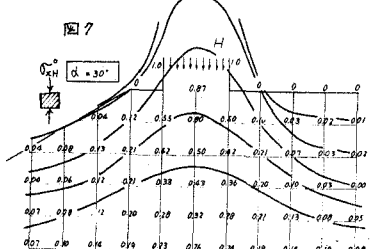


図7

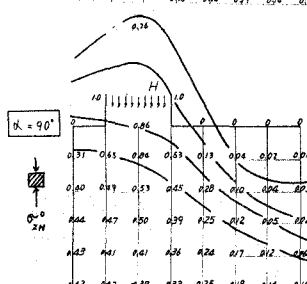


図8 推力による鉛直応力  $\sigma_y^H$



図9 曲げモーメント

によるせん断応力  $\tau_{xy}$

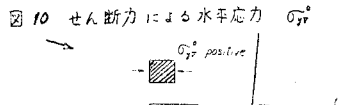


図10 せん断力による水平応力  $\sigma_x^H$



#### 4 すべり破壊安全率の分布

基本荷重状態での応力分布がもとめられるので、任意の組合せ荷重での状態を検討できます。これは、アーチタムアベットメントにとつて一つの Critical Condition である図12のより表面荷重状態での  $S$  の分布を  $\alpha = 0^\circ, 30^\circ, 60^\circ, 90^\circ$ ,  $\theta = 0^\circ, 30^\circ, 60^\circ, 90^\circ, 120^\circ, 150^\circ$ ,  $\frac{T_R}{\sigma_I} = 0.1, 0.2, 0.3, 0.5, 1.0, 2.0, 5.0$ ,  $f = 0, 1$ ,  $\frac{f_u}{f} = 0$  についてすべての組合せについてまとめた結果の一例をあげて説明してみる。詳細は 球研・技術研究新報第 土木 62003 号、1982年9月の“アーチタムの基礎の滑動破壊安全率の分布に関する考察”を参照された。図12によると考察してみよ。( $\frac{T_R}{\sigma_I} = 0.5$ ,  $f = 1$  の場合)

- 1)  $\alpha = 0^\circ$  または  $\alpha = 90^\circ$  と  $\theta$  が変化するにつれて  $S$  が  $0.5$  以下の点を含む「すべり安全率の理屈域」は次第に深く、かつ下流側表面にも近づいていくことが判る。
- 2) ある点でも、 $\theta$  の方向によって、すべり安全率の大小はさほど変わりないが、 $\theta = 90^\circ$  方向を除んでいくと、いわゆるすべり面上傾きカーブが縮小する。よからず面がこの方向に近い場合には、設計・施工上大きな注意が必要となる。
- 3) zone  $\times j$  の考え方の場合には、すべり安全率分布図ができない。 $? \times j$  のことは、主として  $T_R, f$  に与えべき数値である。黒田、一ツ瀬、川俣さんのグムサイトでおこなわれた On site test のデーターが豊富にありますことを望むと共に、ひやかす体とそのコアー強度の相関についての基礎的研究が欲しいものである。

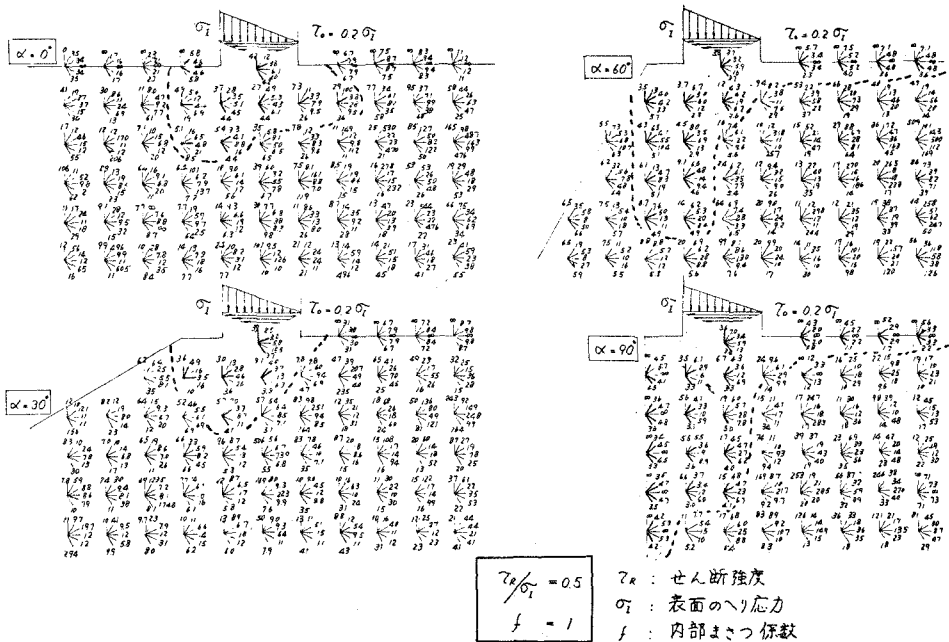


図 12 アーチタムの基礎内部の各点、各方向のすべり安全率  $S$  の一例